

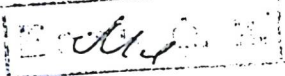
Th-Ru,
Rh, Pd, Os, Y, Pt

1958

Th₂, Th₂H₂ (Kremer. et al. - 1958)

Dwight A.E., Dorney J.W.,
Conner R.A., Jr.,
Trans. Amer. Inst. Mining
Metallurg. and Petrol. Engs,
1958 (1959), 212; 337-338

P.M. 1951, 92487



Sc Rh₃, Sc Pd₃, Sc Pt₃, Y Pd₅, Y Pt₃, 1961
La-Pd₃, Ho Pd₃, Ho Pt₃, Th Rh₃,
U Rh₃, U Ir₃, Th Pd₃, U Pd₃,
U Pt₃, Hf Al₃. (epucier. cusp-pa)

Dwight A.E., Dordrey J.W.

Conner R.A., Jr.

Acta crystallogr.

1961, 14, no 1, 76

PX, 1961, 12B204 11

Sc Rh₃, Sc Pd₃, Sc Pt₃, Y Pd₅, Y Pt₃, 1961
La Pd₃, Ho Pd₃, Ho Pt₃, Th Rh₃,
U Rh₃, U Tr₃, Th Pd₃, D Pd₃,
D Pt₃, Hf Al₃. (species. cusp-pa)

Dwight A.E., Downey Y.W.,

Conner R.A., Jr.

Acta crystallogr.,

1961, 24, pt 1, 76

PX, 1961, 12 J 204 113

Th_2Rh (Krusen. et al.) 1961

Ferro R., Rambaldi et al. VIII 3954

Acta crystallogr., 1961, 14, of 10, 1094

"The phase $\text{D}10_2$ type in the
Thorium-rhodium alloy system".

PX, 1962, 65175

MS

Pd Th₂ (space. esp - 10) 1961

Ferro R., Capelli R., VIII 3965

Acta crystallogr., 1961, 14, d10, 40
1095

"The phase C 16 type in
the thorium - palladium
alloy system."

PX, 1962, 11B 148

DATE DUE

VIII 1894

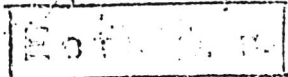
ThRu (Ttr)

1961

Th₇O₂S₃ (Ttr)

(kp. Cusp. μ)

Th₇Ir₃ (Ttr())



b

Mattias B.T., Compton V.B.,

Corenzwit E.,

J.Phys. and Chem. Solids, 1961, 19,

N 1-2, 130-133

Some new superconducting compounds

Proceedings - 1962, 2B210

B, A₂, M₁₁

VIII 1894

ThRu (Ttr)

Th₇O₈²₃ (Ttr)

Th₇Ir₃(Ttr())

Mattias B.T., Compton V.B.,
Corenzwitt E.,
J.Phys. and Chem. Solids, 1961, 19,
N 1-2, 130-133

Some new superconducting compounds

PnCuxu - 1962, 2Ba10 Bi4xMn

Th_7Ru_3 , Th_7Rh_3 , Th_2Od ; $\text{Th}_7^{196}\text{Os}_3$,
 Th_7Fe_3 , Th_7Pt_3 . (species. comp-pg)

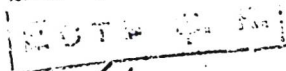
VIII 4429

— 4366

Thomson J.R.,

Nature (Engl.),

1961, 189, n 4760, 217



111

July, 1961, 4200 \$6

Th_7Re_3 , Th_7Rh_3 , Th_2Oo ; $\text{Th}_7^{196}\text{Os}_3$,
 Th_7Fe_3 , Th_7Pt_3 . (Krusius. exp.-pa)

Thomson J.R., VIII 4366
Nature (Engl.),
1961, 189, n 4760, 217

PDH, 1961, 42C86

100-111

Th₇ Rh₃, Th₇ Rh₅, Th₂ Od; Th₇ Os¹⁹⁶¹₃,
Th₇ Fe₃, Th₇ Pt₃. Specie. cup-pa)

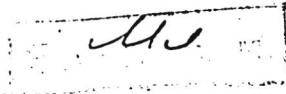
Thomson J.R.,

VIII 4366

Nature (Engl.),

1961, 189, n 4760, 217

PDH, 1961, 42c86



Ph Rh₂, Ph Ru, Ph Li (spaccio. esp - 106)

Thompson J. R.,

111-4367

"Nature" (Engl.),

1962, 194, N 4327; 465.

P.M., 1962, 112113

111-4367

Ph R₂, Ph Re, Ph Yc (species. esp - ps)

Thompson J. R.,

VIII. 4367 (1962)

"Nature" (Engl.),

1962, 194, 11327; 465.

P.M., 1962, 112118

Ph. Rh₂, *Ph. Rec.*, *Ph. Lc* (specie. esp.-pa)
HOL

Florissant F.R.,

VIII 4367

"Native" (Engl.),

1962, 194, N 4324; 465.

✓

P.M., 1962, 112118

Th Pd, Th Pd, Specie. exp., 1963

Thompson M.R., VIII 4088

"Advances X-Ray Catalysis.
Vol. 5," Denver, Colo,

1963, 91- ~~Discussion~~ 94

-95

P.M., 1964, 8242

Th Pd₄, Th Pd₃ (species. exp.-pc 1963)

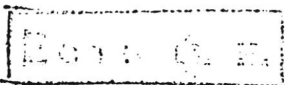
VIII 4088

Thomison M.R.,

"Advances X-ray Catalysis.
Vol. 6," Denver, Colo,

1963, 91- Discuss. by

-95



III

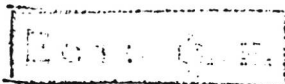
Oct, 1964, 82142

Th Pd₄, Th Pd₃ (spcces. esp-rcd 1963)

VIII 4088

Thomison M.R.,

"Advances X-Ray Catalysis.
Vol. 6," Denver, Colo,
1963, 91- Discuss. by
-95



Feb. 1964, 82142

Th, Pd₅, Rh₃ Pt₅ specimen. Sept. 1963

Thomson J. R., VIII 4094

Peta crystallogr., 1963, 15,
N.Y., 320-321

PX, 1963, 225194

VIII 9440 1963

Th_7Ru_3 , ThRu , ThRu_2 , Th_7Rh_3 ,
 ThRh_2 (Tm); ThRh_2 (Ta)

Thomson J. R.,
J Less-Common Metals,
1963, 5, N6, 437-442

B, II, MII

Pfeiffer, 1964, 3423

$\text{Th}_7 \text{Re}_3$, "Th₃Re₂", Th Re, Th Re₂; 1963

Th Rh₅, "Th Rh₅", Th₄ Rh₃, Th Rh,
"Th₃ Rh₄", "Th₃ Rh₅", "Th Rh₂".

(species. comp-pa, T₁, T₂)

Thomson Y.R., VIII 2440

J. Less-Common Metals.

1963, 5; or 6, 437-442

P.M., 1964, 32123

5, Feb, 1964

VIII 9440

1963

Th_2Ru_3 , ThRu , ThRu_2 , Th_7Rh_3 ,
 ThRh_2 (Tm); ThRh_2 (Tr)

Thomson J. R.,
J. Less-Common Metals,
1963, S, n^o 6, 437-442

B, AI, MII

Pfleiderer, 1964, 3423

EOTB, G. H.

Th_7Re_3 , " Th_3Re_2 ", ThRe , ThRe_2 , 1963

ThRh_3 , " ThRh_5 ", Th_2Rh_3 , ThRh ,
" Th_3Rh_4 ", " Th_3Rh_5 ", " ThRh_2 ".

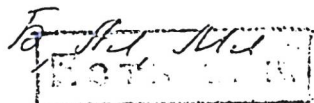
(*Spurcinae. cusp-pa, Tm, Fe*)

Thomson Y.R., VIII 2440

Y. Less - Common Details.

1963, 5, w6, 437-442

P.M., 1964, 32123



Th₇ Rh₃, "Th₃ Rh₂", Th Rh, Th Rh₂, 1963

Th Rh₃, "Th Rh₅", Th₄ Rh₃, Th Rh,
"Th₃ Rh₄", "Th₃ Rh₅", "Th Rh₂".

(*Spurcier. cusp-pa, T₁₁, T₂₂*)

Thomson Y.R., VIII 2440

Y: Less- Common Metals.

1963, 5, v6, 437-442

5/11/11
[]

P.M., 1964, 32123

VIII 2440

1963

Th_7Ru_3 , ThRu , ThRu_2 , Th_7Rh_3 ,
 ThRh_2 (Tm); ThRh_3 (Ta)

Thomson J. R.,
of Less-Common Metals,
1963, 5, N6, 437 - 442

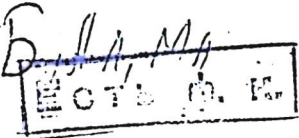
Praktik., 1964, 3423
H, N, D EOTB O. K.

VIII 2440

Th_7Ru_3 , ThRu , ThRu_2 , Th_7Rh_3 ,
 ThRh_2 (Tm); ThRh_2 (Tr)

Thomson J. R.,
J. Less-Common Metals,
1963, Σ , N 6, 437-442

Pöhlker, 1964, 3423



VIII 2440

Th_7Ru_3 , ThRu , ThRu_2 , Th_7Rh_3 ,
 ThRh_2 (Tm); ThRh_3 (Tr)

Thomson J. R.,
of Less-Common Metals,
1963, Σ , N 6, 437-442

B, ~~Ai, MA~~
EOTL ϕ m.

Pfeiffer, 1964, 3423

$\text{Th}_7 \text{Re}_3$, " $\text{Th}_3 \text{Re}_2$ ", Th Re, Th Re₂, 1963

Th Rh₃, " Th Rh₅", Th₂ Rh₃, Th Rh,
" Th₃ Rh₄", " Th₃ Rh₅", " Th Rh₂".

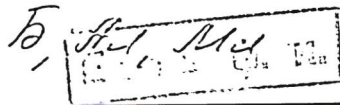
(species. $\text{CeO}_2\text{-Pd}$, Fe_3 , Fe_2)

Thomson Y.R., VIII 2440

J. Less- Common Metals.

1963, 5, no. 437-442

P.M. 1964 3/2/63



Th - Pd
- сплавы

B9-UH - 4098

24 Б483. Сплавы тория с некоторыми переходными металлами. III. Система торий—палладий. Thomson J. R. Alloys of thorium with certain transition metals. III. The system thorium-palladium. «J. Less-Common Metals», 1964, 6, № 2, 94—99 (англ.)

Сплавы Th—Pd приготавлялись расплавлением йодидного и электролитич. Th и губчатого Pd 99,966% и исследовались методами микроскопич. и рентгеновского анализов в интервале т-р 1000—1500°. В системе Th—Pd образуются соединения Th_2Pd (~33,3 ат. % Pd), « ThPd » (50 ат. % Pd), « Th_3Pd_4 » (~57 ат. % Pd), Th_3Pd_5

аво

20.1964.24

1964

(~62 ат. % Pd), ThPd₃, ThPd₄ (~80 ат. % Pd) и ThPd_x (~83 ат. % Pd). Соединение Th₂Pd плавится конгруэнтно при $1162 \pm 12^\circ$, имеет тетрагон. решетку с $a = 7,308 \pm 0,002$, $c = 5,960 \pm 0,003$ Å, образует с Th эвтектику при $1112 \pm 12^\circ$ и ~23 ат. % Pd. «ThPd» плавится при $1412 \pm 12^\circ$, имеет ромбич. решетку с $a = 7,25 \pm 0,02$, $b = 4,57 \pm 0,02$, $c = 5,86 \pm 0,02$ Å, при $1137 \pm 12^\circ$ и ~36 ат. % Pd образует эвтектику с Th₂Pd. «Th₃Pd₄» образуется по перитектич. р-ции при $1325 \pm 12^\circ$, предполагается, что структура «Th₃Pd₄» подобна «Th₃Pt₄». По перитектич. р-ции при $1387 \pm 12^\circ$ образуется соединение Th₃Pd₅, которое имеет гексагон. решетку и изоструктурно с Th₃Pt₅. При $1212 \pm 12^\circ$ и ~62 ат. % Pd между «Th₃Pd₄» и ThPd₅ образуется эвтектика. ThPd₃ плавится конгруэнтно при $T_{\text{ре}} > 1500^\circ$, существует в области 75—77,5 ат. % Pd, имеет структуру типа TiNi₃. Предполагается, что соединение ThPd₄ имеет куб. решетку, структура ThPd_x не определена. Растворимость Th в Pd при 1000° находится в пределах между 15 и 17 ат. %. На кривых ликвидуса и солидуса твердого р-ра на основе Pd имеется резко выраженный минимум при ~12 ат. % Th и $1125 \pm 12^\circ$.

З. Рогачевская

Th₇Os₃, ThOs₂, ThOs_x (~40% Os), Th₇O₇e,
Th₇Ge, ThTe_x (~40%, 4c) ThTe₂, ThTe₅,
"Th₇Y₃", Th₇Pt₅, ThPt, ThPt₄, ThPt₂,
ThPt₄, ThPt₅, ThPt₃, Th₃Pt₅.

(Kfusci. eispr-pa)

VIII 4087

Thomson Y.R;

Y. Less-Common Metals,
1964, 6, no. 3-10.

P.M. 1964, 2.5 U21



ThRh_x

Bp - 5137 - VII

1966

Raub E.

Röschel E.

Krus. ep.

Tm

"Z. Metallkunde"

1966, 57, N7, 546-51

FeRh_3 ; Fe_{2}Ru_3 ; $\text{FePt}_3\text{IrRu}_2$; FeAl_3 ; (1969)
 Fe-Rh_3 ; Fe_{2}Ru_3 ; FePt_3 ; FeRh_3 ; NiTi_3 ; $\Delta(\tau)$
 FeY_3 ; Nb_{2}W_3 ; TaPt_3 ; NbTi_3 ; Nb_{2}W_3 ; $\Delta(\tau)$
 TiAl_3

Wenzert P.P. 6 7 VII 4680

U.S. At. Energy Comm. 1969, UCRL-18747, 10 p.
 Thermodynamic stability of certain
 intermetallic compounds made
 from transition elements.

M 93 94

OA, 1969, 4, N20, 95666Z

KuRh₃; FeTe₃; TcPd₃; FePt₃Re₃; TcAu₃; (1,0) 1969
HfRh₃; HfY₂₃; ThS₂; ThRh₂; URh₃; NPt₃; (1,1)
La₂T₃; MnAl₃T₃; TcPd₃; TcT₃; UHf₂; TcY₂.

UAl₃

Wenzert P.P.

6 7 VII 4680.

U.S. At. Energy Comm. 1969, UCRX-18727, 12 p.
Aerodynamic stability of certain
intermetallic compounds made
from transition elements.

M

④

24

CA, 1969, 4, N20, 95666Z

Pd₂₃, Pd_{Th}₃, Pd_{Gd}₃, Pd_{Tb}₃, Pd_U₃, Pd_{Eu}₃,
Pd_{Sr}₃, Pd_{Sc}₃, Pd_{Zr}₃, Pd_{Hf}₃, Pd_{Ti}₃. 19⁴⁵/₇₀

867 VI 5864

Kfines. cypria

Harris I.R., Normand.

"J. Less-Common Metals", 1940, 22, n^o 1,
127-130 (анн.).

Изучение нефусовых реакторов на основе
модели изотермических равновесий d-Pd-X и
составления таблиц Pd₃X.

тт.



Md

20

П.Л., 1941, 1438

VIII 4998

1971

$\text{Th}_3\text{Ru}_4\text{C}_5$, ThRu_3C ,
 $\text{ThRu}_3\text{C}_{1.5}$

Chus. ср-ва



Holleck H., J. Nucl. Mater., 1971,
39, №2, 226-228 (неу.)

трехцентровые-фундаментальные
карбиды.

○ 4444 9

GM, 1971, 9 448

VIII 4998

1971

$\text{Th}_3\text{Ru}_4\text{C}_5$, ThRu_3C ,
 $\text{ThRu}_3\text{C}_{1,5}$ 8 Струк. ср-ва

Holleck H., J. Nucl. Mater., 1971,
39, №2, 226-228 (нем).

трехцентровые-фушеневые
карбиды.

○ Att.MI 9

SM, 1971, 9 248

VIII 4998

1971

$\text{Gh}_3\text{Ru}_4\text{C}_5$, $\text{Gh}\text{Ru}_3\text{C}$,
 $\text{Gh}\text{Ru}_3\text{C}_{1,5}$

Гимс. ср-ва

Holleck H., J. Nucl. Mater., 1971,
39, №2, 226-228 (нем).

трехмерные торий-рутенийевые
карбиды.

○ Атм 9

СМ, 1971, 9 2448

U-Pd-C; Th-Pd-C (pos. group.) 1971
Holleck H. VIII 5404

Monatsh. Chem., 1971, 102, N6, 1699-708
(Recd.)

Structure of the uranium-palladium-carbon, uranium-platinum-carbon, and thorium-palladium-carbon systems.

5 (Op)

X

Kernforschungsan

CA, 1972, 76, N12, 640944

Th Se

1991

- 41979t Sensitivity of the superconducting transition temperature to residual stress in high-T_c(sub-c) intermetallic compounds.
McCarthy, S. L. (Inst. Pure Appl. Phys. Sci., Univ. California,
La Jolla, Calif.). *J. Low Temp. Phys.* 1971, 4(6), 669-78
(Eng). Residual-stress-induced supercond. occurs only in the
high- T_c (crit. temp.) members of the C14 and C16 crystal sys-
tems. Second transitions are also seen in ThIr₂(C15) and MoRe₃-
(A12). The change in T_c , as a result of introducing large re-
sidual stresses, increases with the bulk T_c .

T_c

(+1)

C.A. 1991. 45. 6



VIII 5269

1972

ThOs₂, ThIr₂, ThIr₅

T_m, крист. спр.

Thomson J.R. "J. less-common metals",
1972, 27, №3, 293-296.

Синтез тория в некотором числе неизвестных металлов. В. Квазидинариад
составила ThOs₂-ThIr₂ и даны некоторые со-
данные о системе торий-иридий

PM, 1972, 10 1124 8

Ал, Мк (cp)

Th-Mn.(DC)

XVIII - 253

1973

Багаева Т.А., Александрова Л.Н.

В сб. „Строение и свойства сплавов
железо-алюминиевых”, изд. „Наука”, 1973,
26-30

А1.

* 4-3022

1973

ThIr
ThPt

ΔH_f

X. 1974
N9

9 Б754. Масс-спектрометрическое доказательство очень высокой стабильности газообразных ThIr и ThPt и метод расчета энергий диссоциации двухатомных интерметаллических соединений с многократными связями. Gingerich K. A. Mass spectrometric evidence for the very high stability of gaseous ThIr and ThPt and method of calculating dissociation energies of diatomic intermetallic compounds with multiple bonds. «Chem. Phys. Lett.», 1973, 23, № 2, 270—274 (англ.)

На масс-спектрометре с высокотрнной ячейкой Кнудсена изучены масс-спектры газ. интерметаллич. соединений, образующихся при 2754°K над сплавом состава $(\text{Zr}, \text{Th})_2(\text{Pt}, \text{Ir}, \text{Rh})_2$. По 3-му закону рассчитаны энталпии $\Delta H^\circ = -13,8, -12,7$ и $-6,3$ газофазных р-ций $\text{ThPt} + \text{C} = \text{PtC} + \text{Th}$, $\text{ThIr} + \text{C} = \text{IrC} + \text{Th}$ и $\text{ThPt} + \text{Ir} = = \text{ThIr} + \text{Pt}$, соотв. Исследование газофазных равновесий $\text{RhC} + \text{Pt} = \text{PtC} + \text{Rh}$, $\text{RhC} + \text{Ir} = \text{IrC} + \text{Rh}$ и $\text{PtC} + \text{Ir} = = \text{IrC} + \text{Pt}$ в интервале 2617 — 2759°K дало по 3-му закону $\Delta H^\circ = -6,0 \pm 0,4, -10,6 \pm 0,2$ и $-4,7 \pm 0,4$ ккал соотв. На основании констант равновесия изученных

+ThIr

ΔH_f

± 7

ΔH_f

р-ций вычислены энергии диссоциации D°_0 (Th—Pt) и D°_0 (Th—Ig), равные соотв. $130,7 \pm 10$ и $136,4 \pm 10$ ккал/моль. Предложен метод расчета для двухатомных интерметаллич. соединений с многократными связями в газ. фазе, основанный на известном методе расчета D°_0 в конденсированных металлах по теории валентных связей. Вычисленные значения D°_0 для ряда соединений согласуются с известными эксперим. данными. Впервые оценены значения D°_0 ZrRu, ThRu, ThOs, NbRu и NbOs, составившие, соотв., 144, 157, 155, 155 и 153 ккал/моль.

В. Е. Скурат

(жай
ме)

40118.8730
TE, Ch, Ph

ThIr (do)
ThIr 96201

1973

23-3022

Gingerich K.A.

Mass spectrometric evidence for the very high stability of gaseous ThIr and ThPt and method of calculating dissociation energies of diatomic intermetallic compounds with multiple bonds.

"Chem. Phys. Lett.", 1973, 23, N 2, 270-274

(англ.)

0025 РМК

007 008

ВИНИТИ

40118.8730
TE,Ch,Ph

(%)
ThPt
96201

1973

4-3022

Gingerich K.A.

Mass spectrometric evidence for the very high stability of gaseous ThIr and ThPt and method of calculating dissociation energies of diatomic intermetallic compounds with multiple bonds.

"Chem. Phys. Lett.", 1973, 23, N 2, 270-274

(англ.)

0025 РМК

007 008

ВИНИТИ

Th. Ruy

Kleykamp H.; et al.

1973

(46°f)

"Cu-zinc. no gory-kite. messe.
бескокс мезап. 1000-4000°K
3-7 сутн, 1973, Бека, Аберфад
таст VI, стп 82-89.

1973

PdTH

Schirber J.E.

(T_{tr})

Phys. Lett. A 1973, 45(2),
149-142.



(ccer. PdH; T)

1974

ТС-5211

ThRu
RuC

(ΔH, ΔD)

20 Б708. Термодинамическое подтверждение образования четверной связи в молекуле ThRu. Максимально возможная энергия связи между свободными атомами металлов и лигандами. Gingrich K. A. Thermodynamic evidence for quadruple bond formation in the molecule ThRu and possible maximum bond energy between ligand-free metal atoms. «Chem. Phys. Lett.», 1974, 25, № 4, 523—526 (англ.)

Масс-спектрометрически в ячейке Кнудсена в интервале 2635—2745° К исследованы р-ции в газ. фазе $\text{ThRu} + \text{C} = \text{Th} + \text{RuC}$; $\text{ThC}_2 + \text{Ru} = \text{ThRu} + \text{C}_2$; $\text{ThC}_2 + 2\text{Ru} = \text{ThRu} + \text{RuC} + \text{C}$; $\text{ThC}_2 + 2\text{Ru} = \text{Th} + 2\text{RuC}$; $\text{Ru} + \text{C} = \text{RuC}$. Рассчитаны энталпии этих р-ций и энергии диссоциации ThRu ($140,5 \pm 10$ ккал/моль) и RuC (154 ± 3 ккал/моль). Отмечено, что высокие энергии диссоциации этих молекул свидетельствуют об образовании четверной связи между металлами в этих молекулах. Максим. энергия такой связи в молекулах интерметаллич. соединений оценена в 160 ± 20 ккал/моль. П. М. Чукуров

1974

ХХХ

凶

+1

x. 1974. N 20

RhCeC₂, PtCeC₂, ThRhC₂, IrThC₂, 1974
RhScC₂, RuYC₂, LaPtC₂, RhVC₂, RhTiC₂, RuZrC₂,
PtHfC₂, RuTuC₂ (ΔH) 16, 186. ~~1974~~

Gingerich K.B.

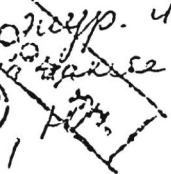
XVI 2287

J. Chem. Phys., 1974, 60, N9, 3703-3707 (April.)

Experimental and predicted stability of
gaseous dicationic metal dicarbides

P.J.H. Yoush, 1974

205707



15

RhCeC₂, PtCeC₂, ThRhC₂, IrThC₂ 1977
RhScC₂, RuYC₂, LaPtC₂, RhVC₂, RhTiC₂, RuZrC₂,
PtHfC₂, RuTuC₂ (ΔH) 16, 186. ~~1974~~ 1974

Gingerich K.B. XVI 2287

J. Chem. Phys., 1974, 60, N9, 3703-3707 (9427)

Experimental and predicted stability of
gaseous d-transition metal dicarbides

P.J.H. Yiu et al., 1974

205707

C₂

M₂C₂

1974
1974
1974
1974
1974
1974

15

ThRu₂, ThRu, Th₃Ru₂, Th₇Ru₃ 1974.
viii 6003
(AFM)

Kleykamp H., Murabayashi N.,
J. less-Common Metals, 1974,
35 (2), 227-33.

Thermodynamic investigations on
the system thorium-uraniuum.

1974.02.12, 5 fsl ⑨

C. 1974.02.12, 5 fsl ⑨

ThRu_2

ThRu

Th_3Ru_2

Th_7Ru_3

(ΔG_f)

ф. 1974. № 10.

(система Th-Ru) VIII - 6003¹⁹⁷⁴

-) 10 E616. Термодинамическое исследование системы торий—рутений. Kleukamp H., Mitagawa Yashi M. Thermodynamische Untersuchungen im System Thorium-Ruthenium. «J. Less-Common Metals», 1974, 35, № 2, 227—233 (нем.; рез. англ.)

Для интерметаллических фаз ThRu_2 , ThRu , Th_3Ru_2 и Th_7Ru_3 , образующихся в системе Th—Ru, определена свободная энергия Гиббса по измерению электродвижущей силы в гальванич. ячейке с твердым электролитом из CaF_2 . Теоретически рассчитанная энталпия образования фаз сравнина с эксперим. результатами. Результаты термодинамич. исследования стабильности фаз в системе Th—Ru сравнены с имеющимися термодинамич. данными для других соединений металлов VIII группы с актиноидами.

Резюме

1974

ThRu₂

ThRu

Th₃Ru₂Th₇Ru₃(ΔG_f)VIII - 6003

12545 if. Thermodynamic investigations on the system thorium-ruthenium. Kleykamp, H.; Muralayashi, M. (Inst. Mater., Festkoerperforsch., Kerzeforschungszent., Karlsruhe, Ger.). *J. Less-Common Metals* 1974, 35(2), 227-33 (Ger). The Gibbs free energy of formation of the intermetallic phases Th-Ru₂, ThRu, Th₃Ru₂, and Th₇Ru₃ which exist in the Th-Ru system was detd. by means of emf. measurements by using galvanic cells with solid CaF₂ electrolyte. The following Gibbs free energies of formation were obtained for the corresponding intermetallic phases at 1020-1170°K: $\Delta G_f(\text{ThRu}_2) = -11870 + 3.24T$, $\Delta G_f(\text{ThRu}) = -15300 + 3.65T$, $\Delta G_f(\text{Th}_3\text{Ru}_2) = -13450 + 2.45T$, and $\Delta G_f(\text{Th}_7\text{Ru}_3) = -13080 + 3.23T$ cal (g atom)⁻¹. The enthalpy of formation was caled. from existing thermodyn. models and correlated with the exptl. results. The stability of the Th-Ru phases was compared with avail. thermodyn. data for other phases of the Group VIII actinide metals.

C.A. 1974, 80: N22

1974

XVIII-202

ThAl_x, ThB_x, ThBi_x, ThC_x, ThCo_x,
ThCr_x, ThFe_x, ThHg_x, ThMg_x,
ThNi_x, ThO_x, ThPb_x, ThRe_x, ThRu_x,
ThS_x, ThSi_x, ThZn_x (meprocog. cb-ba)

Smith J. F.

J. Nucl. Mater., 1974, 51(1), 136-48

LL, Rd

Th Pt

1975

Luengo C.A., et al.

(P , T_{bz} ,
 ΔS_{bz})

Proc. Int. Conf. Lard.
Templ. Phys. 14th 1975,
3, 192-5



(See LIP) 1

XVIII-353 1975

Th-Rh

(ΔG_f)

338549 Thermodynamic research in the thorium-rhenium system. Marabayashi, M.; Kleykamp, H. Inst. Mater. Festkoerperforsch., Kernforschungszent. Karlsruhe, Karlsruhe, Ger.). *J. Less-Common Met.*, 1975, 30(2), 235-46 (Ger). The Gibbs free energies of formation of the 7 intermetallic phases ThRh₅, ThRh₃, Th₂Rh, Th₃Rh₂, Th₂Rh, ThRh, and Th₃Rh₅ existing in the Th-Rh system were detd. by emf. measurements. The data obtained at 990 and 1170°K are -13,400 ± 2.0T, -20,000 ± 2.9T, -25,500 ± 5.6T, -25,000 ± 3.1T, -26,600 ± 2.4T, -28,000 ± 3.7T, -18,900 ± 3.2T [at (g atom)⁻¹]. The enthalpy of formation obtained from these data was correlated with the calcd. values based on different thermodyn. models. A relation exists between the enthalpy of formation and the lattice contraction of AuCu₃- and TiNi₃-type transition-metal phases. Thermodyn. data for the intermetallic actinide-Group V and IVb metals were compiled.

C. A. 1975. 83 N 4

ThRh₅, ThRh₃, ThRh₂, VIII 353 1975
Th₃Rh₅, Th₃Rh₄, ThRh, Th₄Rh₃ (Agf).

Murabayashi M., Kleykamp H.,
J. Less-Common Met., 1975, 39 (2),
235-46.

Thermodynamic research in the
Th-Rh system.

C.A. 1975. 83 N4.33854y. Ar (P)

ThRh₅, ThRh₃³, ThRh₂², VIII 353 1975
Th₃Rh₅, Th₃Rh₄, ThRh, Th₄Rh₃ (4Gf).

Murabayashi M., Kleykamp H.,

J. Less-Common Met., 1975, 39 (2),
235-46.

Thermodynamic research in the
Th-Rh system.

C.A. 1975, 83 n 4.33854y. Ar (P)

ThRh_5 , ThRh_3 , ThRh_2 , XVIII-353 1975

Th_3Rh_5 , Th_3Rh_4 , ThRh , Th_4Rh_3 (ΔG_f).

Murabayashi M., Kleykamp H.,

J. Less-Common Met., 1975, 39 (2),
235-46.

Thermodynamic research in the
Th-Rh system.

C.A. 1975, 83 n 4.33854y. Ar (φ)

ThRh₅, ThRh₃, ThRh₂, VIII353 1975

Th₃Rh₅, Th₃Rh₄, ThRh, Th₄Rh₃ (ΔGf).

Murabayashi M., Kleykamp H.,

J. Less-Common Met., 1975, 39 (2),
235-46.

Thermodynamic research in the
Th-Rh system.

C.A. 1975. 83 N 4.33854y. Ar (φ)

ThRh₅, ThRh₃, ThRh₂, XVIII.353 1975

Th₃Rh₅, Th₃Rh₄, ThRh, Th₄Rh₃ (ΔG_f).

Murabayashi M., Kleykamp H.,

J. Less-Common Met., 1975, 39 (2),
235-46.

Thermodynamic research in the
Th-Rh system.

C.A. 1975. 83 N4.33854y

Ar (P)

ThRh₅, ThRh₃, ThRh₂, VIII 353 1975

Th₃Rh₅, Th₃Rh₄, ThRh, Th₄Rh₃ (Agf).

Murabayashi M., Kleykamp H.,

J. Less-Common Met., 1975, 39 (2),
235-46.

Thermodynamic research in the
Th-Rh system.

C.A. 1975, 83 N⁴. 33854y. for (P)

XVIII-353 1975
ThRh₅, ThRh₃, ThRh₂,
Th₃Rh₅, Th₃Rh₄, ThRh, Th₄Rh₃ (Agf).

Murabayashi M., Kleykamp H.,

J. Less-Common Met., 1975, 39 (2),
235-46.

Thermodynamic research in the
Th-Rh system.

C.A. 1975.83 n 4.33854y. Ar (P)

Th_2PdH_6 Österreich H. 1976
 Th PdH_y J. Solid State Chem
(α Hf) 1976, 16(1-2) 209-10 (eng)
 (all Th_yH_{15} ; I)

Th-Ru-C 87: 12267b Constitution of the systems thorium-(zirconium, niobium, ruthenium, rhodium)-carbon. Holleck, H. (Inst. Mater.- Festkoerperforsch., Kernforschungszent. Karlsruhe, Karlsruhe, Ger.). *J. Nucl. Mater.* 1977, 66(3), 273-82 (Ger). Examn. of arc-melted and subsequently homogenized samples by x-rays, micrography and (sometimes) microanal. established isothermal sections in the ternary systems Th-Zr-C, Th-Nb-C, Th-Ru-C and Th-Rh-C. In the Th-Zr-C and the Th-Nb-C systems. The stable carbides of Zr and Nb are in equil. with Th and Th carbides. There are no ternary carbides. Three complex ternary carbides det. the phase fields in the Th-Ru-C system. The reaction of Th carbides with Rh generates stable intermetallic phases, plus free C. ThRh_3 dissolves ~5-7 at.% C. This stabilizes ThRh_3 relative to neighbouring Th/Rh phases, and this suppresses ThRh_2 and ThRh_5 in the ternary region. The free enthalpies of formation of the ternary compds. were estd. from binary data, taking into account obsd. phase equilibria and the ests. are discussed.

(4Hf)

C.A. 1977 87 n2

Rh Th
Rh II

Ottawa 10602 1978

$\left(\begin{array}{c} \text{R}^{\text{o}} \\ \text{SF}_4\text{H}_{298}^{\text{o}} \end{array} \right)$

Gingerich R.A., et al
J. Chem. Phys. 1978, 69(2),
505-11

(Cu. Th - 2.1 \bar{v}_{vib})
III



CA, 1978, 89, 118, 1538144

1978

Rh ThC₂Rh UC₂

90: 93284s Thermodynamic stabilities of the molecules rhodium uranium carbide (RhUC_2) and rhodium thorium carbide (RhThC_2) from Knudsen effusion mass spectrometry. Gupta, Satish K.; Gingerich, Karl A. (Dep. Chem., Texas A and M Univ., College Station, Tex.). *J. Chem. Soc., Faraday Trans.*, 2, 1978, 74(10), 1851-6 (Eng). The mols. RhUC_2 [69106-88-3] and RhThC_2 [69106-87-2] were obsd. in a mass-spectrometric investigation of the gas phase above a Th-U-Rh-C system at high temps. Their heats of atomization were calcd. to be $\Delta H^\circ_{at,298}$ (RhUC_2) = 1757 kJ/mol and $\Delta H^\circ_{at,298}$ (RhThC_2) = 1774 kJ/mol. These results in conjunction with the bond additivity rule suggest a Rh-M-C-C type structure for these mols.

1 Hanover.

C.A. 1979, 90 n12

ThOs₂

ThIr₅

ThIr₃

16f,

Tm

д. 1979 № 14

14 Б789. Термодинамические исследования в системах торий — осмий и торий — иридий. Ключарев Н. Thermodynamische Untersuchungen in den Systemen Thorium — Osmium und Thorium — Iridium. «J. Less-Common Metals», 1979, 63, № 1, 25—33 (нем.; рез. англ.)

Методом э. д. с. тм. F⁻-ионным электролитом CaF₂ и электродом сравнения Th+ThF₄ определены свободные энергии образования интерметаллич. фаз в системах Th—Os и Th—Ig. Результаты описаны ур-ниями (дж/г-ат): ThOs_2 (I) $\Delta G^\circ(\pm 500) = -53500 + 16,6T$ (1020—1220 K); Th_3Os_2 $\Delta G^\circ(\pm 300) = -67000 + 28,0T$ (1070—1230 K); Th_7Os_3 $\Delta G^\circ(\pm 300) = -62500 + 26,7T$ (1030—1230 K), ThIr_5 . (II) $\Delta G^\circ(\pm 600) = -59200 + 7,5T$ (1200—1250 K), ThIr_3 (III) $\Delta G^\circ_{1200} = -73800 \pm 900$. Расчитаны энталпии образования указанных соединений и сравниены с расчетом по модели Миедема. Проведено пирометрич. определение в вакуумной печи с вольфрамовым нагревателем линий солидуса и т. пл. соединений в богатых Os и Ig областях их диаграмм с Th. В подсистемах I—Os, II—III и II—Ig образуются простые эвтектики с т. пл. $2220 \pm 50^\circ$, $2150 \pm 40^\circ$ и $2080 \pm 30^\circ$ соотв. Соединения I—III плавятся конгруэнтно при 2480 ± 80 ; 2260 ± 70 и $2280 \pm 60^\circ\text{C}$ соответственно.

А. Б. Кисилевский

1979

Хранение в библиотеке УГНТУ

ThOs_2
 Th_3Os_2
 Th_7Os_3

Comm. 4660 XVIII-72ccy 1979

92: 29466s Thermodynamic studies in the thorium-osmium and thorium-iridium systems. Kleykamp, H. (Inst. Mater.-Festkoerperforsch., Kernforschungszentr. Karlsruhe, 7500 Karlsruhe, Fed. Rep. Ger.). *J. Less-Common Met.* 1979, 63(1), P25-P33 (Ger). The Gibbs energies of formation of the 3 intermetallic phases ThOs_2 , Th_3Os_2 , and Th_7Os_3 occurring in the Th-Os system as well as the phases ThIr_5 and ThIr_3 of the Th-Ir system were detd. by emf. measurements with solid galvanic cells with a CaF_2 electrolyte. The heats of formation were correlated with calcd. values based on thermodn. models. The regions of the phase diagrams rich in noble metals of both systems were supplemented by pyrometric m.p. detns.: ThO_2 , 2480°; ThIr_5 , 2260°; ThIr_3 , 2280°.

(16-f)
e

(+) Th Ir_x (Im)

C.A. 1680, Q2, NY

1979

Pd-Th (Cu_{II})

91: 10483e The extremely high thermodynamic stability of palladium-thorium alloys. Schaller, H. J. (Inst. Phys. Chem., Univ. Kiel, D-2300 Kiel, Fed. Rep. Ger.). *Z. Naturforsch.*, A 1979, 34A(4), 464-8 (Ger). The thermodn. properties of Pd-Th

solid solns. contg. up to 16 at. % of Th were detd. by the emf. method between 700 and 800° with CaF_2 solid electrolyte cells. The mixing behavior of the alloys is characterized by extreme neg. deviations from ideality, up to -410 kJ/mol for the partial molar excess free energy of Th. The extraordinary stability is attributed to electronic interactions brought about by the transfer of the Th valence electrons to the electron gas of the alloy. At vanishing Th concn. the resulting bonding contribution to the thermodn. excess quantities is detd. by the difference of the Fermi energies of the pure components, approx. equal to the difference of the work functions. Including the lattice distortion as a small addnl. effect, the mixing behavior of these and other palladium alloys can be well described.

W.F. de Groot.
CB-BR

Q.A. 1979, 91/12

Pd-Th
(сплав)

(46-)

19 Б850. Об экстремально высокой термодинамической стабильности сплавов Pd—Th. Schalléг H.-J. Über die extrem hohe thermodynamische Stabilität von Pd-Th-Legierungen. «Z. Naturforsch.», 1979, A34, № 4, 464—468 (нем.; рез. англ.)

В интервале т-р 700—800° измерены э. д. с. гальванич. ячеек с тв. F⁻-ионным электролитом Th, ThF₄[CaF₂]Th(Pd), ThF₄ в области конц-ий Th в тв. р-рах до 16 ат.%. Табулированы парц. термодинамич. характеристики Th в сплавах и избыточные функции тв. р-ров во всей изученной области составов с шагом $X_{\text{Th}}=0,02$. Поведение сплавов характеризуется экстремально отриц. отклонениями от идеальности до $\Delta \bar{G}_{\text{Th}^{\text{изб}}} = -410,6$ кдж/моль при 800° для $X_{\text{Th}}=0,06$. Экстраординарная стабильность приписана электронному взаимодействию, возникающему при переносе валентных электронов Th в электронный газ сплава.

А. Б. Кисилевский

Х. 1979, № 19

1979

ThPd₅ThPd₄

92: 136132b Phase diagram of the system of palladium-based palladium-thorium alloys. Terekhov, G. I.; Togirova, R. Kh.; Ivanov, O. S. (USSR). *Splavy At. Energ.* 1979, 119-23 (Russ). Edited by Ivanov, O. S.; Alekseeva, Z. M. Izd. Nauka: Moscow, USSR. Boundaries of α -solid solns. based on Pd were detd. ≤ 20 at. % Th by x-ray phase anal. and microstructural studies. Liq. ThPd₅ is formed at 1415°. A eutectic reaction liq. \rightleftharpoons ThPd₅ + ThPd₄ occurs at 1335° and liq. ThPd₄ forms at 1450°.

(Tin)



C.A. 1980. 92: 116

Th Ru₃ Si_{2+x}

1980

Barr H.

(T_{tx})

Mater. Res. Bull. 1980,
15(10), 1489-91.

acc. Y Ru₃ Si_{2+x-1}

ThRhH_{3,1}

1982

15 Б1331. Образование гидрида ThRh и синтез метана за счет его реакции с CO. The formation of ThRh hydride and the synthesis of methane by its reaction with CO. Berner H., Oesterreicher H., Ensslen K., Schlapbach L. «Z. Phys. Chem.», 1982, 132, № 1, 75—84 (англ.; рез. нем.)

ΔH_f, ΔS;

Показана возможность образования гидрида ThRhH_{3,1} (I) из интерметаллич. соединения ThRh при равновесном давл. $H_2 = 1$ бар и комн. т-ре и изучен синтез CH_4 из CO в присутствии этого гидрида, проводимый при т-ре 100—300° С. На основании термодинамич. анализа показано, что энタルпия образования I $\Delta H^\circ = -58,7$ кДж/моль, а энтропия образования I $\Delta S^\circ = -128$ Дж/(К·моль) H_2 . При выдержке I в атмосфере CO во всех экспериментах наблюдается образование только CH_4 , а присутствие H_2O не обнаружено. Детально изучено влияние десорбции H_2 из I на образование CH_4 . С помощью изотопов D_2 показано, что в

Х. 1983, 19, 11/15

образовании CH_4 водород из I предпочтительнее для р-ции с CO , чем H_2 из газ. фазы. Прогрессивное уменьшение емк. по H_2 , отсутствие кислородсодержащих газ. продуктов и снижение давл. в ходе синтеза подтверждают, что ThRh становится более окисленным, а рентгенографически показано, что сплав содержит фазы ThO_2 , ThRh_3 и Rh . Методом РФЭС установлено, что ThRh и ThRhH_z при добавлении O_2 или CO разлагаются на Пв с образованием ThO_2 и кластеров Rh . Исследовано образование CH_4 и CO_2 из CO и H_2 на окисленных в CO образцах I и показано, что эта р-ция протекает при т-рах $<95^\circ\text{C}$.

И. Ш. Гершензон

обр:

$\text{Th}_3\text{Pd}_{13}$

ThPd_4

1984

3 Е650. Диаграмма состояния Pd—Th в части, богатой палладием. Терехов Г. И., Александрова Л. Н., Тагирова Р. Х. «Изв. АН СССР. Мет.», 1984, № 6, 189—193

В системе Pd—Th до содержания 20 ат.% Th установлено наличие трех реакций перитектич. типа $\text{Ж} + \delta \rightleftharpoons \alpha$ (при 1145°C), $\text{Ж} + \varepsilon \rightleftharpoons \delta$ (при 1215°C) и $\text{Ж} + \varphi \rightleftharpoons \varepsilon$ (при 1340°C). Установлен бертолидный тип δ -фазы на основе соединения $\text{Th}_3\text{Pd}_{13}$ (как наиболее вероятного состава). Соединение ThPd_4 и δ -фаза имеют области гомогенного существования в пределах конц-ий 0,3 и 1,1 ат.% Th. Растворимость Th в палладии в твердом состоянии при 950°C составляет $\sim 14,5$ ат.%.

Резюме

оф. 1985, 18, № 3

$\text{Th}_{\text{x}}\text{Si}_{2-\text{x}}$ | 10m. 23946

1986

Chevalier B., Zhong W.X.,
et al.,

(Tz)

~~J. of~~ Mater. Res. Bull.,
1986, 21, N₂, 183 -
194.

Pt Th

1986

Connor J.A.

Steed. Surf. Sci. Catal.

(n.x.,
odgop)

1986, 29, 33-41.

(cav. CrCr; $\frac{T}{T}$)

Pt₅ Th

[Om-25079]

1986

Möbius S., Hellwig h.,
et al.,

86;

J. Less-Common Metals,
1986, 121, 43-48.

PhPd₂Sn (Om. 25307) 1986

Rossel C., Torkachvili I.I. S.,

Chen J.W. et al.,

Solid State Commun.,

1986, 60, N^o, 563-567.

Gp;

Thpt₃

[On. 31710]

1988

Chilton J.A.; Coles B.R.,
et al.,

(G)

J. Mass. and Mass.
Mater. 1988, 76-77,
171-172.

ЖЖХ

1991

8 E501. Система Ir—Th (иридий—торий). The Ir—Th (iridium-thorium) system / Okamoto H. // J. Phase Equilibria.— 1991.— 12, № 5.— С. 568—570.— Англ.

На диаграмме состояния линии ликвидус сплавов, содержащих >225 ат.% Th, проведены пунктиром. Растворимость Th в твердом Ir неизвестна. Растворимость Ir в α -Th <1 ат.% при 1000°C . Приведены координаты особых точек на диаграмме состояния, а также параметры решеток и структура соединений Ir_2Th , IrTh , Ir_3Th_3 и Ir_5Th . Наличие соединения Ir_3Th подтверждается определением т-ры перехода в сверхпроводящее состояние (4,71 К).



φ 1992, N 8.

Th₂x

1991

17 Б3037. Система Ir—Th (иридий — торий). The Ir—Th (iridium — thorium) system / Okamoto H. // J. Phase Equilibria.— 1991.— 12, № 5.— С. 568—576.— Англ.

Обзор. Обобщены лит. данные по фазовым соотношениям в системе Ir—Th. Приведена фазовая диаграмма системы, в к-рой образуются интерметаллиды Ir_5Th , Ir_3Th , Ir_2Th , IrTh , IrTh_x (при ~ 60 ат.% Th) и Ir_3Th_7 с т. пл. 2260 ± 70 (конгруэнтно), 2280 ± 60 (неизвестен тип р-ции), >1500 (конгруэнтно), >1500 (конгруэнтно), >1500 (перитектич.) и $>1500^\circ\text{C}$ (конгруэнтно) соотв., тв. р-ры на основе Ir, а также α - и β -Th и 5 эвтектик при 13 ± 2 , 20 , 43 ± 1 , 65 и 85 ± 1 ат.% Th с т. пл. 2080 ± 30 , 2150 ± 40 , >1500 , 1462 ± 12 и $1337 \pm 12^\circ\text{C}$ соотв. Приведены кристаллографич. х-ки фаз. Библ. 11.

Л. Г. Титов

ж. 1992, N 17

ThPdGe

1992

Kawamata S.,

Iwasaki H. et al.

(μ)

J. Magn. Magn. Mater.

1992, 104-107, 55-6.

(ccc; UNiGe; I)

Th Pt Ge 1992

Kawanata S.,
Iwasaki H. et al.

(Cp) J. Magn. Magn. Mater.
1992, 104-107, 55-6.

(cell. ● UNiGe; ?)

ThPd₂B₂C

1996

125: 23460p Superconducting and calorimetric properties of the metastable palladium borocarbide $\text{ThPd}_2\text{B}_2\text{C}$. Jiang, P. J.; Hsu, Y. Y.; You, Y. B.; Ku, H. C.; Ho, J. C.; Lin, S. H.; Yao, Y. D.; Chen, Y. Y. (Department Physics, National Tsing Hua University, Hsinchu, Taiwan 300). *Chin. J. Phys. (Taipei)* 1996, 34(2, Pt. 2), 646–649 (Eng). A broad superconducting transition with bulk T_c of 14 K and a diamagnetic onset ≤ 20 K was obsd. for the metastable, as-melted $\text{ThPd}_2\text{B}_2\text{C}$ sample from magnetic studies. Low temp. sp. heat data yield a bulk T_c of 14 K, an electronic-term coeff. γ of 12 mJ/mol K² and a Debye temp. Θ_D of 320 K. The systematic variation of T_c for the nonmagnetic quaternary borocarbides $\text{RT}_2\text{B}_2\text{C}$ ($\text{R} = \text{Sc}, \text{Y}, \text{Lu}, \text{La}, \text{Th}; \text{T} = \text{Ni}, \text{Pd}, \text{Pt}$) is correlated with the electronic-term coeff. γ and the transition metal T-T nearest-neighbor in-plane distance. The variation of the transitional metal 3d/4d/5d-dominated conduction band and thus the Fermi-level d. of states $N(E_F)$ is believed to be the detg. factors for T_c variation of these borocarbides.

(T_c, γ)

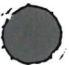
C.A. 1996, 125, N2

ThPd₃

2000

134: 170087m Electronic structure and optical properties of ThPd₃ and UPd₃. Nautiyal, T.; Auluck, S.; Blaha, P.; Ambrosch-Draxl, Claudia (Department of Physics, University of Roorkee, Roorkee, 247 667 India). *Phys. Rev. B: Condens. Matter Mater. Phys.* 2000, 62(23), 15547–15552 (Eng), American Physical Society. The authors present calcns. of the electronic and optical properties of the actinide compds. ThPd₃ and UPd₃ using the state-of-the-art full-potential linearized APW method as implemented in the WIEN97 code. Both compds. crystallize in the complex TiNi₃ structure with 16 atoms per unit cell. For comparison with earlier work, the authors also studied these compds. in the AuCu₃ structure. However, the results in this hypothetical structure do not compare that well with expts. as in the actual TiNi₃ structure.

(P Meissner)



C.A. 2001, 134, N92

The authors have calcd. the d. of states (DOS), the coeff. of the electronic sp. heat, and the frequency-dependent optical cond. These quantities are compared with expts. where good agreement was obtained. The DOS is dominated by Pd d states below the Fermi energy and by actinide f states near and above the Fermi energy. Transitions between these states dominate the optical cond. and the optical matrix elements do not play an important role. This finding is supported by expts. on a comparison of x-ray photoemission spectroscopy (XPS) data with optical cond.

Th₂Re₃ Wang, Jenner; et al., 2000
Th₂H₃
Th₂Pd₃
Th₂Ag₃ J. Alloys Compd. 2000,
Th₂Pt₃ 313 (1-2), 77-84.

(D₅H⁰)

(all. ● ThCo₅; I)